

Список літератури: І.Калосров С.А., Космодаміанський О.С. Наближений метод визначення напруженого стану полоси з круговим отвором. - ДАН УРСР, 1972, № 1. 2. Калосров С.А. Концентрація напружень в полосе з круговим отверстием. - "Механіка твердого тіла", 1974, № 6. З.Мартинович Т.Л., Зварич М.К. Упруге рівновесіє пластинки з двумя круговими отверстями, в які розташовані замкнуті стержні. - В сб.: Математичні методи та фізико-механічні поля. К., "Наукова думка", 1975, вип. I. 4. Мироненко Н.І. Рівновесій бесконечної полоси з круговим отверстием. - "Прикладна механіка", 1972, т. 8, № 1. 5. Савин Г.Н. Распределение напряжений около отверстий. К., "Наукова думка", 1968. 6. Źelisko T. Stresses Induced by Central Bending in a Long Beam Containing a Circular Annular Inclusion. - „Bull. Polon. Scisér. sci. techn.” 1969, т. 17, № 8. 7. Źelisko T. Transvers Flexure of the Strip Containing an Infinite Double Row of Circular Holes. - „Bull. Polon. Sci. sér. techn.” 1969, т. 17, № 9.

УДК 539.370

В.С.Щукін

### ЗГИН КОНСОЛЬНОЇ БАЛКИ З ОТВОРОМ, В ЯКИЙ ВПРЕСОВАНО ПРУЖНЕ КІЛЬЦЕ

Нехай пружна анизотропна балка-пластинка шириною  $2h_0$ , товщиною  $2h$  та довжиною  $l$ , нерухомо затиснута одним кінцем і згинеться в своїй площині нормальним навантаженням  $Q$ , розподіленим за лінійним законом. У пластинці на відстані  $a$  від затиснутого кінця є круговий отвір радіуса  $r_1$ , в який впресовано кільце постійного поперечного перерізу, симетричного відносно серединної площини пластинки /рис. I-4/. При цьому припускається, що контакт між кільцем і пластинкою здійснюється вздовж усього контуру до і після деформації. Тертям на лінії контакту нехтуємо.

Визначення напруженого стану в контактичних тілах зводиться до знаходження компонентів деформації  $e_a$ ,  $\theta_b$  та функцій  $\Phi_j(z_j)$  /  $j = 1, 2$  / комплексних змінних  $Z_j = x + \mu_j y$ , які задоволяють граничні умови в інтегральній формі [2]

$$\int_{L_1} F_i(t) R e dU = \int_{L_1} F_i(t) d[U_m + \epsilon^*(t)] ; \quad /I/$$

$$\int_{L_1} \overline{F_i(t)} dV = \int_{L_1} N_j^{(i)} \overline{F_j(t)} dt ; \quad \int_{L_1} F_i(t) dV = \int_{L_1} F_i(t) N_j^{(i)} dt ;$$

$$U = i \bar{t} \sum_{j=1,2} \left[ (\rho_j + i q_j) \Phi_j(z_j) + (\bar{\rho}_j + i \bar{q}_j) \overline{\Phi_j(z_j)} \right] ;$$

$$V = \sum_{j=1,2} \left[ (1 + i \mu_j) \Phi_j(z_j) + (1 + i \bar{\mu}_j) \overline{\Phi_j(z_j)} \right] ,$$

12/

де  $\mu_j$  ,  $\rho_j$  ,  $q_j$  - постійні величини, що залежать від пружних стальних матеріалу пластинки [1] ;  $t$  - афікс точки контура отвору  $L_1$  ;  $t = dt/ds$  ;  $F_i(z)$  - довільна функція змінної  $z = x + iy$  , голоморфна в області пластинки.

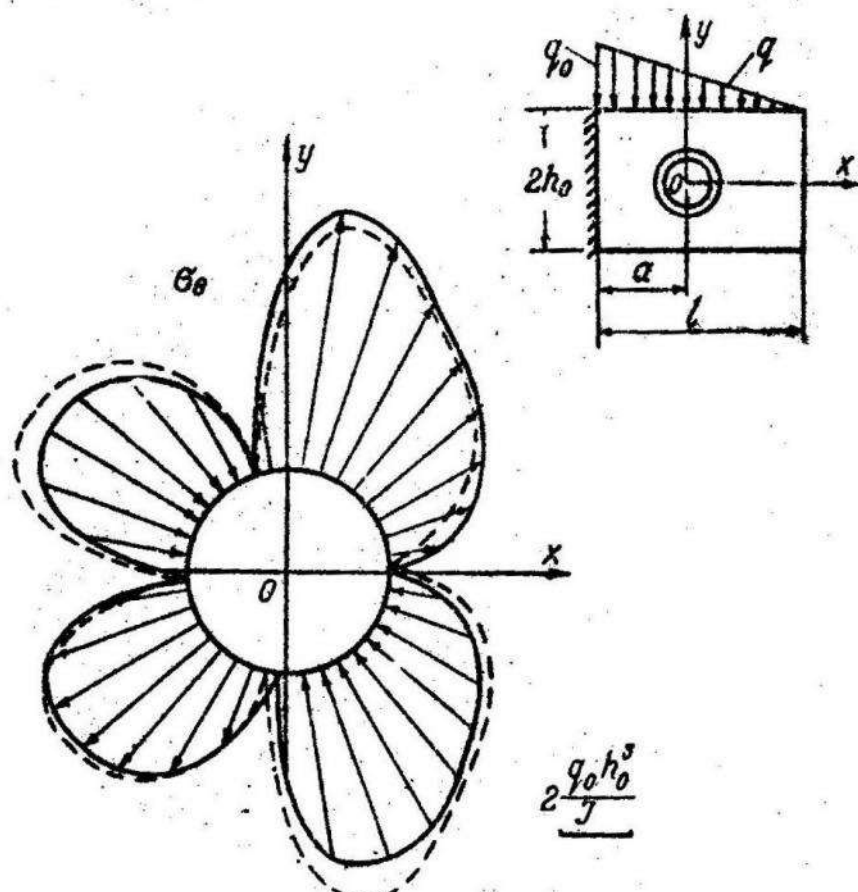


Рис. I.

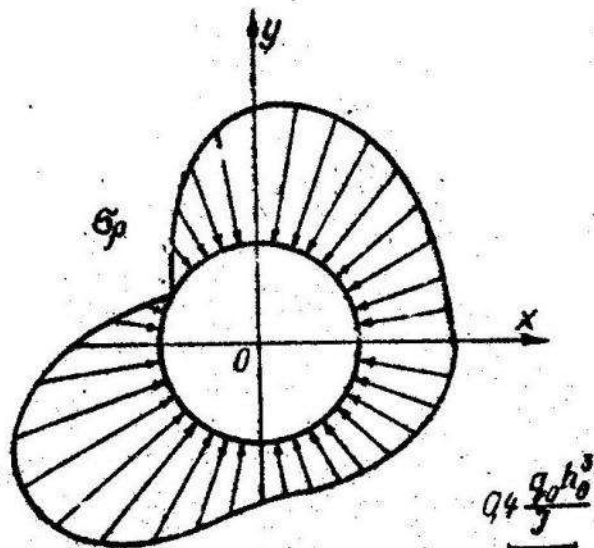


Рис. 2.

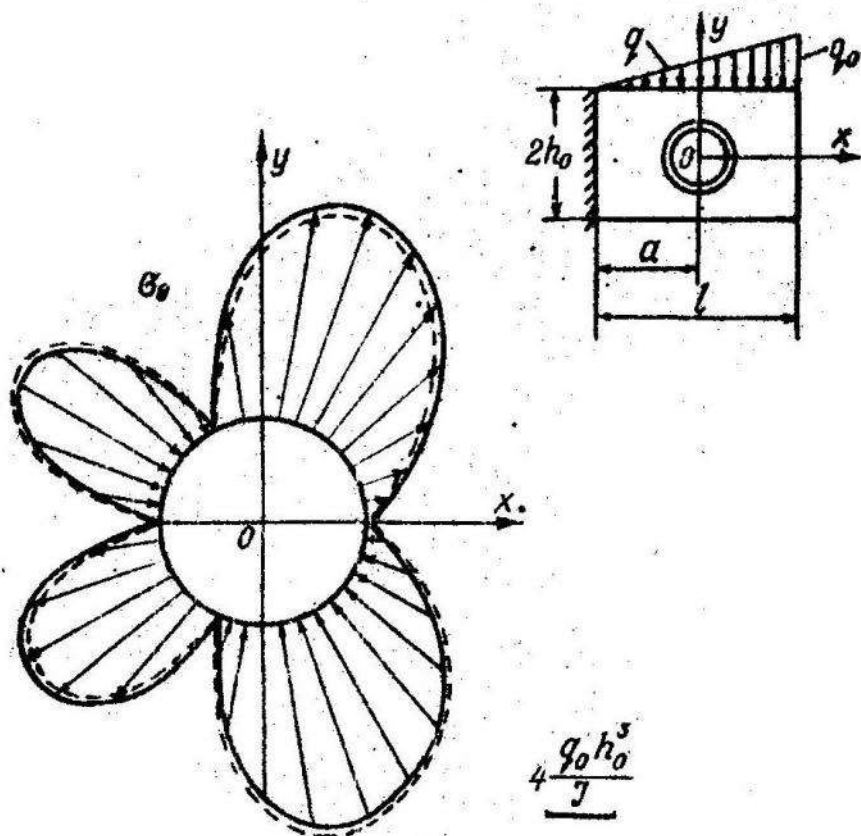


Рис. 3.

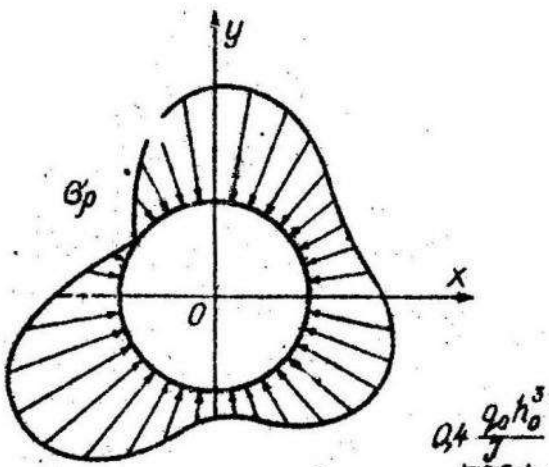


Рис.4

Нормальна складова переміщення  $U_{in}$  контурних точок стержня виражається через відносне подовження  $\epsilon_o$  нульової /для чистого згину/ лінії  $L_o$  і кут повороту  $\theta_b$  нормального перерізу стержня формулами

$$u_m = \operatorname{Re} \left\{ i \bar{t} \int_{t_0}^t \left[ \frac{r}{r_i} \epsilon_o + i(r_i - r_o) \frac{d\theta}{dt} + i\theta_b \right] dt + ct \right\}, \quad /3/$$

де  $c$  - стала інтегрування.

Внутрішні зусилля та нормальні напруження у перерізі стержня визначаються за формулами /2/.

Приймемо

$$z = \omega(\xi) = r_i \xi; \quad t = r_i G; \quad G = e^{i\theta}, \quad /4/$$

тоді функції

$$z_j = \omega_j(\xi_j) = \frac{1}{2} [(1-i\mu_j) \xi_j + (1+i\mu_j) \frac{1}{\xi_j}], \quad (j=1,2), \quad /5/$$

будуть конформно переводити відповідні області зміни  $Z_1$  і  $Z_2$  на зовнішність одиничного круга  $\mathcal{J}$ , причому для контурних точок  $\mathcal{J}$  змінні  $\xi$ ,  $\xi_1$  і  $\xi_2$  набувають одного і того самого значення  $\xi = e^{i\theta}$ .

Компоненти деформації стержня  $e_0$  і  $\theta_b$  на  $j$  подамо у формі комплексних рядів Фур'є

$$e_0 = d_0 + 2\operatorname{Re} \sum_{k=1}^{\infty} d_k \sigma^k; \quad \theta_b = \beta_0 + 2\operatorname{Re} \sum_{k=1}^{\infty} \beta_k \sigma^k. \quad /6/$$

Нормальне напруження  $N_j^{(i)}$  на  $j$  згідно з /2/, враховуючи /6/, визначається за формулou

$$N_j^{(i)} = \frac{q}{2hr} \left[ d_0 + \sum_{k=2}^{\infty} (1-k^2) (d_k \sigma^k + \bar{d}_k \sigma^{-k}) \right]. \quad /7/$$

Довільну функцію та комплексні потенціали виберемо у вигляді

$$\begin{aligned} \Phi_1(\zeta_1) &= \sum_{p=1}^5 a_p \zeta_1^p + \sum_{k=1}^{\infty} A_k \zeta_1^{-k}; \\ \Phi_2(\zeta_2) &= \sum_{p=1}^5 b_p \zeta_2^p + \sum_{k=1}^{\infty} B_k \zeta_2^{-k}; \\ F_i(\zeta) &= \sum_{n=1}^{\infty} E_n \zeta^{-n}. \end{aligned} \quad /8/$$

Коефіцієнти  $a_p$  і  $b_p$  залежать від виду навантаження пластинки.

Вносимо розклади /6/-/8/ в граничні умови /I/ з врахуванням /2/-/5/ і виконамо інтегрування вздовж контура  $J$ , враховуючи при цьому, що всі  $E_i$ , крім  $E_n$ , дорівнюють нулю. У результаті одержуємо систему алгебраїчних рівнянь відносно шуканих коефіцієнтів  $A_k$ ,  $B_k$ ,  $d_k$  і  $\beta_k$ .

Для ортотропної пластинки, коли осі вибраної системи координат /рис.I-4/ паралельні головним напрямкам пружності, система має вигляд/  $\mu_1 = i\beta_1^*$ ;  $\mu_2 = i\beta_2^*$  /:

$$r_0 d_0 - (\bar{p}_1 + i\bar{q}_1) A'_1 - (\bar{p}_2 + i\bar{q}_2) B'_1 = (p_1 + iq_1) a'_1 + (p_2 + iq_2) b'_1 - \epsilon^*;$$

$$-(\bar{p}_1 + i\bar{q}_1) \bar{A}'_2 - (\bar{p}_2 + i\bar{q}_2) \bar{B}'_2 = (p_1 + iq_1) a_2 + (p_2 + iq_2) b_2;$$

$$\frac{2r_0}{1-(n-1)^2} \left( 1 + \frac{r_0}{h_c} \right) d_{n-1} - (\bar{p}_1 + i\bar{q}_1) \bar{A}'_{n-2} - (\bar{p}_1 + i\bar{q}_1) \bar{A}'_n =$$

$$-(P_2 + iq_2)\bar{B}_{n-2} - (\bar{P}_2 + i\bar{q}_2)\bar{B}_n = (P_1 + iq_1)a_n \delta_{n,5} + (\bar{P}_1 + i\bar{q}_1)a_{n-2} \delta_{n-2,5} \quad /9/$$

$$+ (P_2 + iq_2)b_n \delta_{n,5} + (\bar{P}_2 + i\bar{q}_2)b_{n-2} \delta_{n-2,5};$$

$$\frac{g}{2h} d_{n-1} - (1-\beta_i^*)\bar{A}_{n-2} - (1-\beta_2^*)\bar{B}_{n-2} = (1+\beta_1^*)a_{n-2} \delta_{n-2,5} + (1+\beta_2^*)b_{n-2} \delta_{n-2,5};$$

$$\frac{g}{2h} L_o - (1+\beta_1^*)\bar{A}_1 - (1+\beta_2^*)\bar{B}_1 = (1-\beta_1^*)a_1 + (1-\beta_2^*)b_1;$$

$$-(1+\beta_1^*)\bar{A}_2 - (1+\beta_2^*)\bar{B}_2 = (1-\beta_1^*)a_2 + (1-\beta_2^*)b_2;$$

$$\frac{g}{2h} (2-n)d_{n-1} - (1+\beta_1^*)\bar{A}_n - (1+\beta_2^*)\bar{B}_n = (1-\beta_1^*)a_n \delta_{n,5} + (1-\beta_2^*)b_n \delta_{n,5};$$

$$r_o d_{n-2} = -i\eta_c (n-2) \beta_{n-2}, \quad (n=3,4,5,\dots),$$

де  $\delta_{n,m}$  – символ Кронекера;  $q = E^* F$ .

Якщо навантаження розподілене за лінійним законом

$q = (q_o/l)[(l-a)-x]$ , то коефіцієнти  $a_p$  мають такий вигляд:

$$a'_1 = \frac{4}{3} \frac{K}{L} \beta_2^{*2} Q; \quad a'_2 = -\frac{1}{3} \frac{K}{L} \beta_1^* \beta_2^{*2} Q;$$

$$a''_1 = - \left\{ \frac{1}{32} L \left[ \left(1 - \frac{a}{l}\right)^2 \left(\frac{l}{h_o}\right)^2 - \frac{\beta_1^{*2} - \beta_2^{*2}}{30} \right] + \frac{K(1+\beta_1^*)(1-\beta_1^*)^2}{48} \left(\frac{r_1}{h_o}\right)^4 + \right. \quad /10/$$

$$\left. + \frac{K(1-\beta_1^*)}{4} \left(\frac{r_1}{h_o}\right)^2 \left[ \left(\frac{l}{h_o}\right)^2 \left(1 - \frac{a}{l}\right)^2 + \frac{\beta_1^{*2} - 4\beta_2^{*2}}{5} \right] \right\} \frac{h_o}{l} Q;$$

$$a''_2 = K \left(1 - \frac{a}{l}\right) \frac{h_o}{h_o} \left[ \frac{1}{6} \left(\frac{l}{h_o}\right)^2 \left(1 - \frac{a}{l}\right)^2 + \frac{\beta_1^{*2} - 4\beta_2^{*2}}{30} + \frac{1 - \beta_1^{*2}}{12} \left(\frac{r_1}{h_o}\right)^2 \right] Q;$$

$$\alpha_3' = -\frac{K(1+\beta_1^*)}{12} \frac{r_i^2}{h_o l} \left[ \left(\frac{l}{h_o}\right)^2 \left(1-\frac{a}{l}\right)^2 + \frac{\beta_1^{*2} - 4\beta_2^{*2}}{5} + \frac{1-\beta_1^{*2}}{8} \left(\frac{a}{h_o}\right)^2 \right] Q;$$

$$\alpha_4' = \frac{K(1+\beta_1^*)^2}{48} \left(\frac{a}{h_o}\right)^3 \left(1-\frac{a}{l}\right) Q; \quad \alpha_5' = -\frac{K(1+\beta_1^*)^3}{480} \frac{r_i^4}{h_o^3 l} Q;$$

$$\alpha_3' = \alpha_4' = \alpha_5' = 0; \quad \alpha_p = \alpha_p' + i\alpha_p''; \quad b_p = b_p' + i b_p'',$$

де

$$K = \frac{(1+\beta_1^*)^2}{16\beta_1^*(\beta_1^{*2} - \beta_2^{*2})}; \quad L = \frac{1+\beta_1^*}{\beta_1^*}; \quad Q = r_i \frac{q_o h_o^3}{3};$$

$q_o$  - момент інерції перерізу пластинки;  $q_o$  - найбільше значення навантаження  $q$ . Коефіцієнти  $b_p$  визначаються з коефіцієнтів /10/ заміною  $\beta_1^*$  на  $\beta_2^*$ .

Для числового прикладу за ортотропну пластинку візьмемо склопластик КАСТ-В /ГОСТ 10292-62/ [3] та кільце прямокутного поперечного перерізу  $2h^* \times b$  з діаграмінію при таких значеннях пружних стальних матеріалів та геометричних параметрів:  $E_1 = 2 \cdot 10^{10}$  Па,  $\nu_1 = 0,158$ ;  $\nu_2 = 0,098$ ;  $G = 4 \cdot 10^9$  Па;  $E^* = 7 \cdot 10^{10}$  Па;  $h^*/h = 1$ ;  $b/r_i = 0,2$ ;  $b/a = 4$ ;  $b/h_o = 10$ ;  $b_i/h_o = 0,25$ .

На рис. I-2 побудовані графіки розподілу кільцевих  $\sigma_\rho$  та радіальних  $\sigma_\rho$  напружень вздовж контура отвору в ортотропній консольній балці при згині її навантаженням, розподіленим за лінійним законом  $q = (q_o/l)[(l-a)-x]$ . Мінімальна величина посадки кільца знаходиться з умови  $N_{i1}^{(i)} \leq 0$  на  $L_i$ .

Розв'язана також задача про пресову посадку кільца в круговий отвір ізотропної консольної балки, але через громіздкість формул тут не наводимо. Для числового прикладу взята мідна пластинка та стальне кільце з такими пружними сталими:  $\mu = 4 \cdot 10^{10}$  Па;  $E^* = 2 \cdot 10^{11}$  Па;  $\nu = 0,08$ . Геометричні розміри зберігалися попередні.

На рис.3-4 показані графіки розподілу напружень  $\sigma_{\theta}$  і  $\sigma_{\rho}$  вздовж контура отвору. Балка згинається у своїй площині навантаженням, яке розподілене за лінійним законом  $q = q_0 [(a+x)/l]$ . Відхід кільця від пластинки відбувається в обох випадках при  $\theta^{\circ}=150^{\circ}$ . Штриховою лінією зображені графіки розподілу напружень  $\sigma_{\theta}$  при відсутності кільця.

Список літератури: 1. Лехницкий С.Г. Анизотропные пластинки. М., ГТИ, 1957. 2. Мартинович Т.Л., Зварич М.К., Щукин В.С. О напряженном состоянии анизотропной пластинки, в криволинейное отверстие которой впрессован замкнутый стержень. - "Механика полимеров", 1976, № 2, с.304-309. 3. Физические и механические свойства стеклопластиков. Справочник. Рига, "Зинатне", 1969, 266 с.